

Sensoriamento Remoto

Texto - Cópias

Sensoriamento Remoto do Ambiente: Uma Perspectiva em Recursos Terrestres

Tradução da Segunda Edição

John R. Jensen

University of South Carolina

TRADUÇÃO:

JOSÉ CARLOS NEVES EPIPHANIO (Coordenador) - INPE
ANTONIO ROBERTO FORMAGGIO - INPE
ATHOS RIBEIRO DOS SANTOS - INPE
BERNARDO FRIEDRICH THEODOR RUDORFF - INPE
CLÁUDIA MARIA DE ALMEIDA - INPE
LÉNIO SOARES GALVÃO - INPE

arêntese

São José dos Campos, SP, Brasil
2009
www.parentese.com.br

A

2

Princípios de Radiação Eletrromagnética

energia registrada por um sistema de sensoramento remoto vem do Sol, tal energia transmite informação possuir ser interpretados apropriadamente. Por exemplo, se a raio solar fundamente que precisam ser entendidas para que os dados de sensoramento remoto possuir ser interpretadas apropriadamente.

vista no vazio espacial a velocidade da luz,

e radiada pelas partículas atômicas na fonte (o Sol),

interage com a atmosfera da Terra,

interage com a superfície da Terra;

interage com a atmosfera da Terra novamente, e

- filamentos atinge o solo, onde é a interação entre os componentes ópticos, filtros, emulsões de filmes, ou detectores.

É instituto examinar cada uma dessas interações fundamentais que a energia é a capacidade de realizar trabalho. No processo de realizar trabalho, a energia frequentemente é transferida de um corpo a outro ou de um lugar para outro. Os tipos básicos pelos quais a energia pode ser transferida são condução, convecção, e radiação (Figura 2-1). A maioria das processos de calor condução, convecção e radiação (Figura 2-1).

Figura 2-1. Diagrama de esquema de transferência de calor entre um corpo (molecula ou átomo) e seu ambiente (exemplo, gás ou líquido).



Condução, Convecção e Radiação

igra entre o Sol e a Terra. Imita forma de transleitura de energia que pode ocorrer no vácuo, como é a fundamento interesse para a ciência do sensoramento remoto porque ela é de tipo címulos. A transleitura de energia por radiação eletrromagnética é devido correntes convectivas na atmosfera, as quais podem produzir nuances de correntes horas da manhã. O ar mais quente proximo a superfície sobe, forçando corpos. Um bom exemplo é o aquecimento do ar proximo ao solo nas horas da manhã. Uma parte dos corpos é transferida de um lugar a outro pela movimentação física. Energia de material é aquecida pela chapinha do fogão. Na cozinha, a energia transferida sua energia a um objeto colisão com este. E desse modo que famílias com a condução, que ocorre quando um corpo (molecula ou átomo) é aquecido, convecção e radiação (Figura 2-1). A maioria das processos de calor condução, convecção e radiação (Figura 2-1).

Figura 2-1. Diagrama de esquema de transferência de calor entre um corpo (molecula ou átomo) e seu ambiente (exemplo, gás ou líquido).

Transferência de Energia

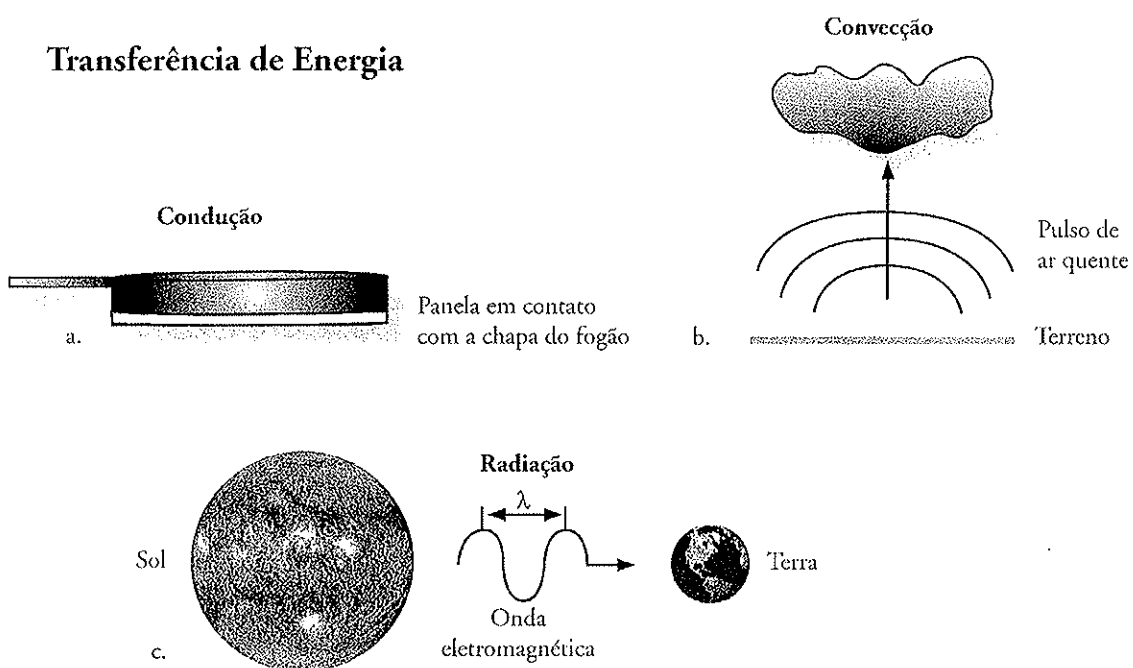


Figura 2-1 A energia pode ser transferida de três modos: condução, convecção e radiação. a) A energia pode ser conduzida diretamente de um objeto a outro como quando uma panela está em contato físico direto com a chapa de um fogão. b) O Sol banha a superfície da Terra com energia radiante fazendo com que o ar próximo ao solo aumente de temperatura. O ar menos denso sobe, criando correntes convectivas na atmosfera. c) A energia eletromagnética na forma de ondas eletromagnéticas pode ser transmitida através do vácuo espacial desde o Sol até a Terra.



Modelos de Radiação Eletromagnética

Para entender como a energia eletromagnética é criada, como ela se propaga no espaço e como ela interage com outra matéria, é útil descrever os processos usando dois diferentes modelos: o modelo *ondulatório* e o modelo de *partícula* (Englert et al., 1994).

Modelo Ondulatório da Energia Eletromagnética

Nos anos 1860s, James Clerk Maxwell (1831-1879) concebeu a radiação eletromagnética (REM) como uma onda eletromagnética que se desloca pelo espaço à velocidade da luz. Decorreram muitos anos para que os cientistas Leon Foucault e Albert A. Michelson determinassem a *velocidade da luz*, *c*, como 299.702.458 metros por segundo (i.e., $m\ s^{-1}$). Este valor é frequentemente generalizado para $3 \times 10^8 m\ s^{-1}$, ou 300.000 km s^{-1} . Uma relação útil em cálculos rápidos é que a luz avança a 1 pé ($0,3048\ m$) por nanosegundo ($10^{-9}\ s$) (Rinker, 1999). A *onda eletromagnética* consiste de dois campos flutuantes – um elétrico e outro magnético (Figura 2-2). Os dois vetores estão em ângulos

retos (ortogonais) entre si, e ambos são perpendiculares à direção do deslocamento da onda.

Como uma onda eletromagnética é criada? *Radiação eletromagnética* é gerada toda vez que uma carga elétrica é acelerada. O comprimento de onda (λ) da radiação eletromagnética depende da duração do tempo pelo qual a partícula carregada é acelerada. Sua frequência (ν) depende do número de acelerações por segundo. O *comprimento de onda* é formalmente definido como a distância média entre dois máximos (ou mínimos) consecutivos de um padrão grosseiramente periódico (Figuras 2-2 e 2-3) e é normalmente medido em micrômetros (μm) ou nanômetros (nm). *Frequência* é o número de comprimentos de onda que passam por um ponto por unidade de tempo. Uma onda que envia uma crista a cada segundo (completando um ciclo) é dita como tendo uma frequência de um ciclo por segundo. Ou um *hertz*, abreviado como 1 Hz. As unidades de medida frequentes para comprimento de onda e frequência são apresentadas na Tabela 2-1.

A relação entre o comprimento de onda (λ) e a frequência (ν) da radiação eletromagnética baseia-se na seguinte fórmula, onde c é a velocidade da luz (Rott, 2000):

$$0,483 \text{ } \mu\text{m} = \frac{2,898 \text{ } \mu\text{m}}{6,000 \text{ K}}$$

Onde k é uma constante equivalente a $2.898 \mu\text{m K}$, e T é a temperatura absoluta em Kelvin. Assim, como o Sol se aproxima de um copo negado a 6.000 K , o comprimento de onda dominante (λ_{max}) é $0.483 \mu\text{m}$:

$$\alpha_{\max} = \frac{T}{k}$$

Além do consumo de total de energia que emana de um corpo negro térmico como o Solo, podemos determinar seu conteúdo dominante (λ_{max}) com base na lei do deslocamento de Wien:

Qnde σ é a constante de Stefan-Boltzmann, $5,697 \times 10^{-8}$ $\text{W m}^{-2} \text{K}^4$, é importante lembrar que a quantidade de energia emitida por um objeto tal como o Sol ou a Terra é uma função de sua temperatura. Quanto maior a temperatura, maior a quantidade de energia que emana do planeta, mas é importante lembrar que a energia emitida por um objeto tal como o Sol ou a Terra é radiada para o espaço (Figura 2-5). É claro a partir dessa ilustração que o total de energia emitida pela Terra é muito maior que a radiada para o espaço (Figura 2-5).

$$M^a = \Omega_T^{-1} \quad (2.4)$$

(2-1) sua letopreparatura absoluta (T) medida em kelvin (K). Esta é conhecida como a lei de Stefan-Boltzmann e expressa

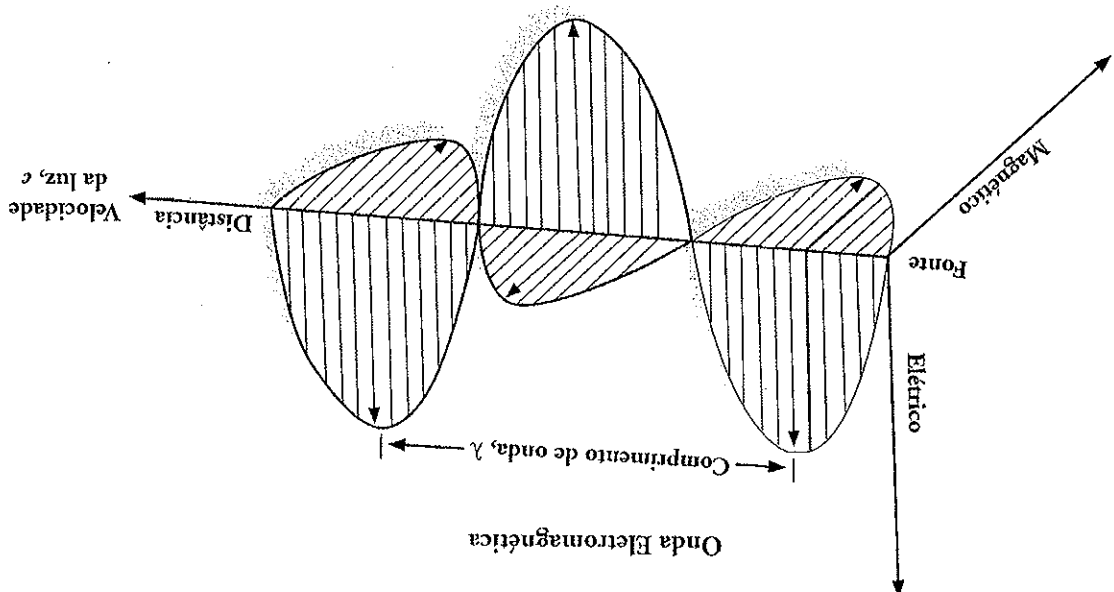
Todos os observadores acima do zero absoluto (-273°C ou 0K) comitem energia eletromagnética, incluindo a água, solo, rocha, vegetação e a superfície do Solo. O Solo representa a fonte inicial da maioria da energia eletromagnética registrada pelos sistemas de sensorização remota (exceto o RADAR, LIDAR e SONAR) (Figura 2-4; Plancha Colônia 2-1). Podemos ver o Solo como um corpo negro a $5.770 - 6.000\text{ K}$ (um entre todos que absorve e radiaria energia à maioria das outras unidades por unidade de área em cada comparação de onda (a) e para uma dada temperatura).

Observar que a freqüência é inversamente proporcional ao comprimento de onda. Fazendo a mostarda diagramar a camrente na Figura 2-3, onde quanto maior o comprimen-
to de onda, menor a frequência; menor o comprimento de onda, maior a frequência. Quando a rádiofône eletrônica passa de uma subsinuosa para outra, a velocidade da luz e o comprimento de onda mudam, quando se duce a freqüência permanece constante.

$$\frac{\lambda}{\beta} = \gamma$$

$$\Delta Y = \beta$$

Figura 2-2 Uma onda eletromagnética é composta de vetores elétricos e magnéticos, que são ortogonais (em ângulos de 90°) entre si. As ondas deslocam-se da fonte à velocidade da luz ($3 \times 10^8 \text{ m/s}$).



Relação Inversa Entre Comprimento de Onda e Frequência

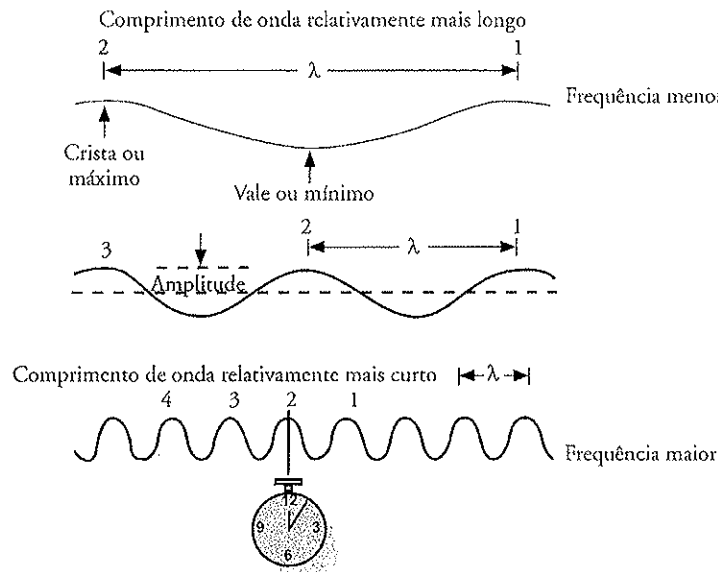


Figura 2-3 Este corte transversal de várias ondas eletromagnéticas ilustra a relação inversa entre comprimento de onda (λ) e frequência (v). Quanto maior o comprimento de onda, menor a frequência; quanto menor o comprimento de onda, maior a frequência. A amplitude de uma onda eletromagnética é a altura da crista da onda em relação à posição fixa. Cristas de onda sucessivas são numeradas como 1, 2, 3 e 4. Um observador na posição do relógio registra o número de cristas que passam a cada segundo. Esta frequência é medida em ciclos por segundo, ou *hertz*.

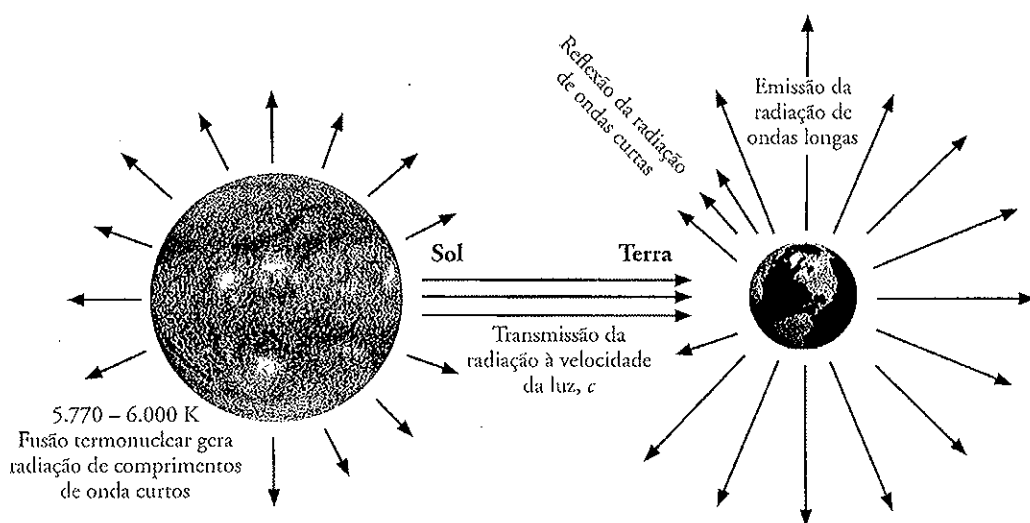


Figura 2-4 A fusão termonuclear ocorrendo na superfície do Sol gera um espectro contínuo de energia eletromagnética. A temperatura de 5.770 – 6.000 K desse processo produz uma grande quantidade de energia de comprimentos de onda relativamente curtos que se desloca através do vácuo do espaço à velocidade da luz. Parte dessa energia é interceptada pela Terra, onde ela interage com a atmosfera e com os materiais da superfície. A Terra reflete parte dessa energia diretamente de volta para o espaço exterior ou pode absorver a energia de comprimentos de onda menores e então reemiti-la em comprimentos de onda maiores (após Strahler e Strahler, 1989).

A região do infravermelho médio (*frequency range*) abrange de 3 a 30 μm . A região do infravermelho ter- minal das bandas muitas vezes é a 5 μm e a 8 μm onde onda de 1,3 a 3,0 μm . A região do infravermelho ter- minal das bandas muitas vezes é a 5 μm e a 8 μm .

A energia elétrica magnética no infravermelho usada para exportar filmes direto para o cinema é um dos serviços ao infravermelho.

Curvas de radiação de corpo negro para divisões ob-
jetivas, incluindo o solo e a lona, que se aplica à maioria das temperaturas de 6.000 K a 300 K.
A figura sob cada curva pode ser in-
troduzida em um computador a cerca de radiação total (M_J),
e usada para calcular a temperatura de cada objeto (figuração 2-4). Assim, o solo
comumando de cada objeto (figuração 2-4). Assim, o solo
máxima de comparação com a temperatura da atmosfera, ou seja, com temperatura de onda domi-
nante (A_{max}) deslocada em direção aos níveis de expectativa.

Como mencionado no Capítulo I, na pesquisa com sen-
soitamento remoto frequentemente especificamos uma
região particular do espectro eletromagnético (p.ex., luz
vermelha) identificando um comprimento de onda (ou
freqüência) inicial e final e depois colocando uma desci-
ção. Nesse intervalo de comprimento de onda (ou freqüen-
cia), verificamos se existem bandas de absorção (ou
de emissão) que indicam a presença de certos elementos
que compõem o solo. A Figura 2-7 é a visível como
uma fotografia das bandas de áudio (0,4 - 0,7 μm), verde (0,5
- 0,6 μm) e vermelho (0,6 - 0,7 μm) do espectro electro-
magnético. Pensemos na luz visível como sendo composta

Embora o Sol tenha um comportamento de onda dominante em 0,48 μm , este produz um espectro contínuo de radiação eletromagnética variando desde ondas muito curtas, de extrema alta frequência como os raios gama e gás-micos, até ondas de rádio de muita baixa frequência (Figuras 2-6 e 2-7). A Terra intercepta uma porção muito pequena da energia eletromagnética produzida pelo Sol.

$$9,66 \mu\text{m} = \frac{300 \text{ K}}{2,898 \frac{\mu\text{m}}{\text{K}}}$$

A energia eletrônica de deslocar pedras 150 milhas de quilômetros para se deslocar provavelmente do Sol leva oito milhões de esforço até a Terra. Como mostrado na Figura 2-5, a Terra queima-se de um calor igual a 300 K (37°C) e tem um comprimento de vida dominante em aproximadamente 9,66 milhão de anos.

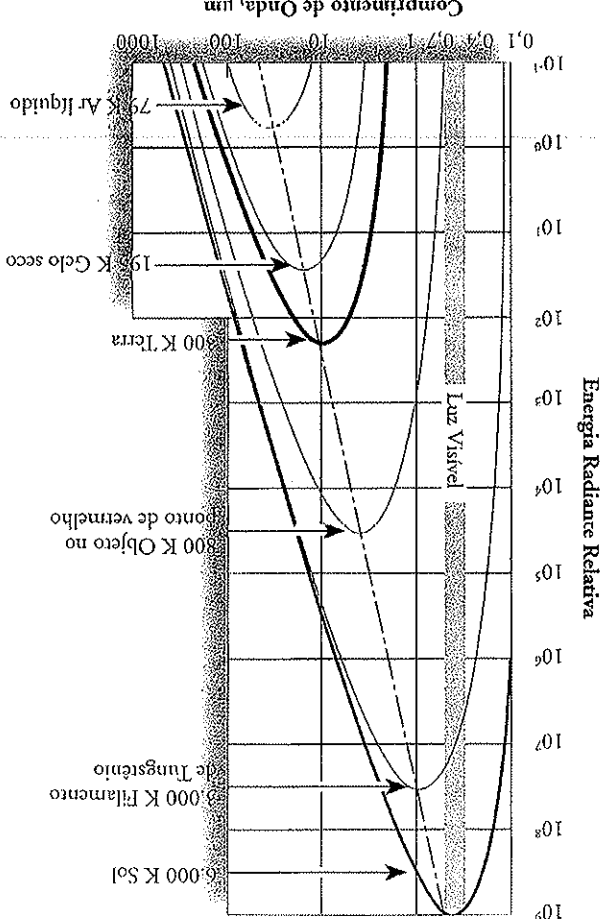


Tabela 2-1. Unidades de medida padrões para comprimento de onda e freqüência.

Comprimimiento de onda (λ)	
Unidades	Relación
Metros (m)	1,0 m
Centímetros (cm)	0,01 m = 10^{-2} m
Milímetros (mm)	0,1 mm = 10^{-3} m
Micrometros (μm)	0,000001 m = 10^{-6} m
Nanómetros (nm)	0,000000001 m = 10^{-9} m
Angstroms (Å)	0,0000000001 m = 10^{-10} m
Frecuencia (ciclos por segundo)	
Hertz (Hz)	1
Otillohertz (kHz)	$1.000 = 10^3$
Megahertz (MHz)	$1.000.000 = 10^6$
Gigahertz (GHz)	$1.000.000.000 = 10^9$

Modelos de Radiogáoo Eletromagnética

Tabela 2-2. Métodos de descrição da cor espectral (após Nassau, 1983).

Cor ^a	Descrição em Comprimento de Onda				Descrição em Energia	
	Angstrom (Å)	Nanômetro (nm)	Micrômetro (μm)	Frequência (Hz x 10 ¹⁴)	Número de Onda ^c (ψ cm ⁻¹)	Elétron-volt (eV) = 1240/λ
Ultravioleta, sw.	2.537	254	0,254	11,82	39.400	4,89
Ultravioleta, lw	3.660	366	0,366	8,19	27.300	3,39
Violeta (limite) ^b	4.000	400	0,40	7,50	25.000	3,10
Azul	4.500	450	0,45	6,66	22.200	2,75
Verde	5.000	500	0,50	6,00	20.000	2,48
Verde	5.500	550	0,55	5,45	18.200	2,25
Amarelo	5.800	580	0,58	5,17	17.240	2,14
Laranja	6.000	600	0,60	5,00	16.700	2,06
Vermelho	6.500	650	0,65	4,62	15.400	1,91
Vermelho (limite) ^b	7.000	700	0,70	4,29	14.300	1,77
Infravermelho, próximo	10.000	1.000	1,0	3,00	10.000	1,24
Infravermelho, distante	300.000	30.000	30,00	0,10	333	0,041

^aApenas valores típicos; lw = comprimentos de onda longos; sw = comprimentos de onda curtos. ^bO limite exato depende do observador, intensidade da luz, adaptação da vista, e outros fatores. ^cO número de onda (ψ) é o número de ondas numa unidade de comprimento (usualmente por cm). Assim, $\psi = 1 / \lambda$ (cm) = 10.000 / λ (μm) = 100.000.000 / λ (Å) em cm⁻¹.

14 μm. A porção das micro-ondas do espectro eletromagnético consiste de comprimentos de onda muito maiores (1 mm – 1 m). A porção das ondas de rádio do espectro pode ser subdividida em UHF, VHF, e frequências de rádio HF, LF e ULF.

A resolução espectral da maioria dos sistemas de sensoriamento remoto é descrita em termos de bandas do espectro eletromagnético. Por exemplo, as dimensões espectrais das quatro bandas dos sensores Multispectral Scanner (MSS) do Landsat e do High Resolution Visible (HRV) do SPOT são mostradas na Figura 2-8, junto com a resolução espacial de cada banda para fins de comparação. As especificações exatas das bandas MSS/Landsat e do SPOT são fornecidas no Capítulo 7.

A energia eletromagnética pode ser descrita não apenas em termos de comprimento de onda e frequência, mas também em unidades de energia do fóton tais como joules (J) e elétronvolts (eV), como mostrado na Figura 2-7. Diversas das mais importantes conversões de massa, energia e potência são mostradas na Tabela 2-3.

O Modelo de Partícula: Radiação das Estruturas Atômicas

Na *Opticks*¹ (1704), Sir Isaac Newton afirmou que a luz era um feixe de partículas, ou corpúsculos, deslocando-se em linhas retas. Ele também sabia que a luz tinha características ondulatórias com base em seus trabalhos com placas de vidro. Não obstante, durante os duzentos anos antes de 1905, a luz foi encarada primariamente como uma onda plana e contínua. Depois, Albert Einstein (1879 – 1955) descobriu que quando a luz interage com elétrons, tem um caráter diferente (Figura 2-9). Concluiu que quando a luz interage com a matéria, ela comporta-se como se fosse composta de muitos corpos individuais chamados fótons, os quais portam propriedades parecidas com as de partículas, como energia e momento (Meadows, 1992). Como resultado, hoje a maioria dos físicos responderiam à pergunta, “O que é a luz?” dizendo que a luz é um tipo particular de matéria (Feinberg, 1985). Assim, às vezes descrevemos

¹ N.T.: há tradução em português, feita por André Koch Torres Assis, pela editora EDUSP, com o título Óptica.

Tabela 2-3. Conversões de massa, energia e potência.

cessos ou níveis de energia (Figura 2-10a). A form de que um elétron possa sair para uma classe maior, é preciso que um trabalho seja realizado. Entretanto, a menor que um trabalho seja realizado para mover o elétron quantitade de energia seja disponivel para mover o elétron de pejo menos um nível energético acima, já não accetará de pejo. Se uma quantidade suficiente de energia é recebida, o elétron irá saltar para um novo nível e é que o trabalho. Se uma quantidade suficiente de energia é realizada, o elétron possa sair para fazer com que o elétron fosse excitado e se realizeado no atomo, i.e., o quantum de energia que libera radiação libeada é uma função da quantidade de trabalho radiada (Figura 2-10c). O comprimento de onda que libera energia ou ótima de mais baixa energia livre do atomo é cerca de 10^{-8} segundos, o elétron retorna ao nível de energia num átomo extraído (Figura 2-10b). Uma vez que o elétron extraído, o elétron irá saltar para um novo nível e é que o elétron volta ao nível de que o elétron era anteriormente.

Joule: uma força de 1 newton aturando por 1 metro.

Unidade britânica, ou BTU: energia necessária para elevar a temperatura de 1 libra de água de 50 °F para 60 °F.

Calor: energia necessária para elevar a temperatura de 1 grama Celsius.

Quilograma de água de 1 grama Celsius.

Unidade britânica para elevar a temperatura de 1 libra de água de 1 hora.

Quilowatt-hour: 1.000 joules por segundo por 1 hora.

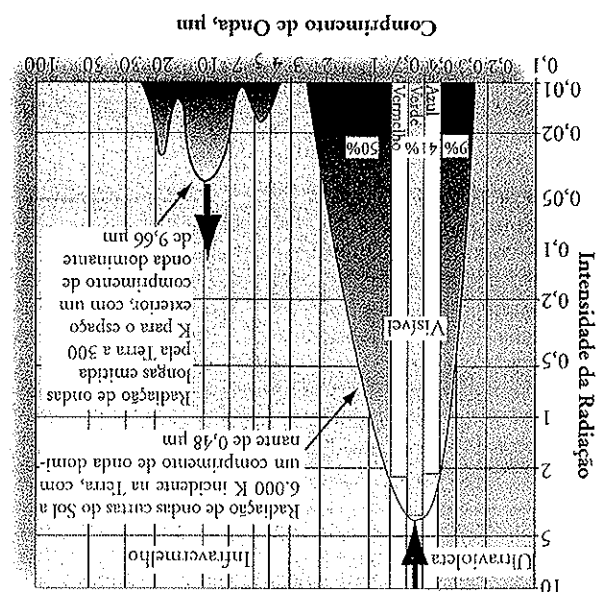
Pé-líbra: uma força de 1 libra aturando por 1 pé.

Cavalo: 550 pé-líbras por segundo.

Newton! Força necessária para acelerar uma massa de 1 kg a

Elétrons são as pequenas partículas carregadas negativamente que se movem ao redor do núcleo carregado positivamente de um átomo (Figura 2-10). Os átomos de diferentes substâncias são constituídos de um número variável de elétrons subatômicos que são carregados de diferentes modos. A interação entre os núcleos e os elétrons carregados positivamente é o eletromagnetismo. As eletrons e elétrons eletrostáticas desempenham um papel importante na formação das estruturas atômicas.

como a luz interage com a matéria. Segundo o princípio de Heisenberg, é impossível determinar exatamente a posição e a velocidade de um átomo ao mesmo tempo. Isso porque quanto mais se sabe sobre a posição de um átomo, menor se torna a probabilidade de saber sua velocidade, e vice-versa.



Modelos de Radiagao Eletrromagnetica

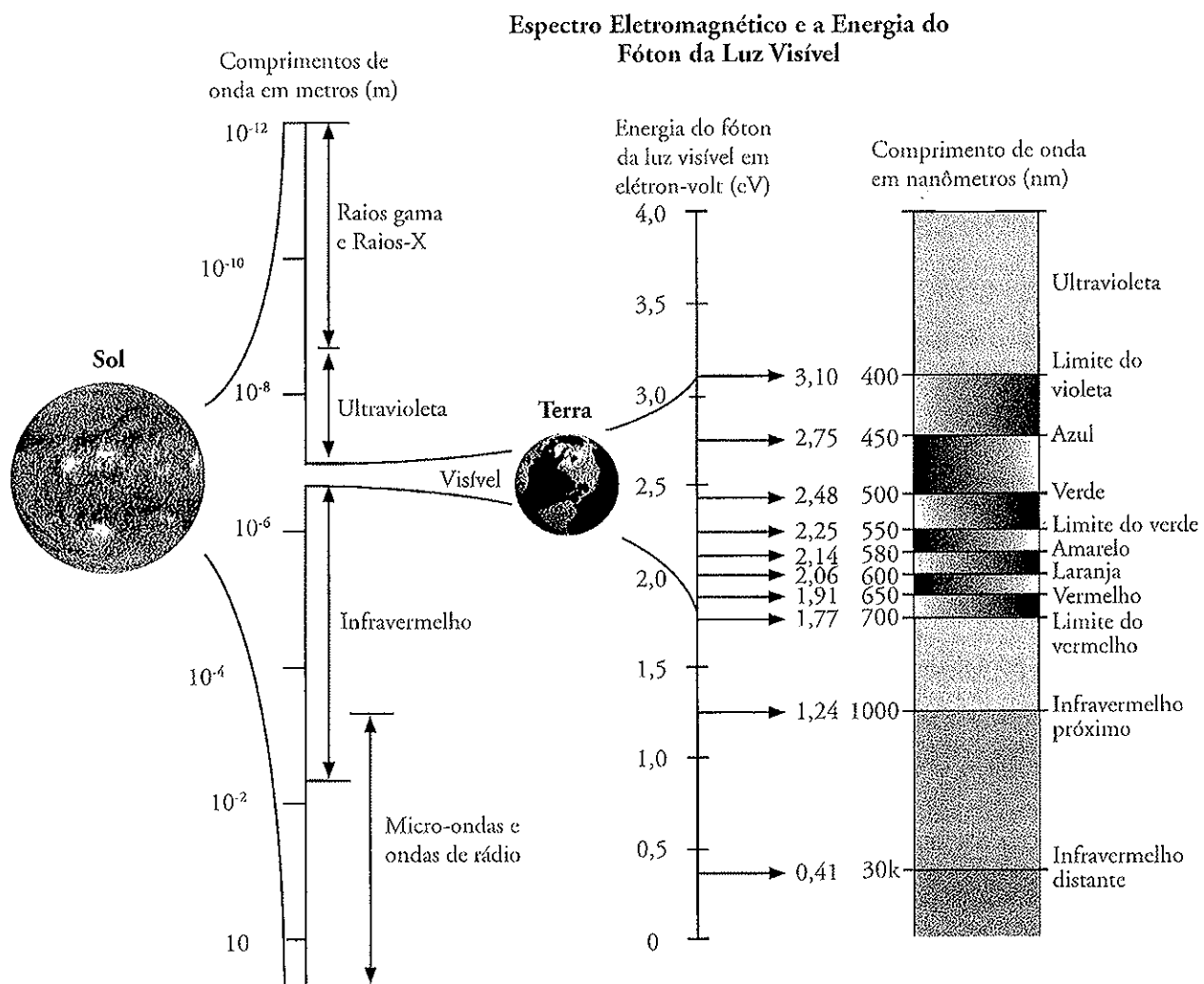


Figura 2-7 O espectro eletromagnético e a energia do fóton da luz visível. O Sol produz um espectro contínuo de energia desde os raios gama até as ondas de rádio, que banha continuamente a Terra com energia. A porção visível do espectro pode ser medida usando comprimentos de onda (medidos em micrômetros ou nanômetros, i.e., μm ou nm) ou elétron-volt (eV).

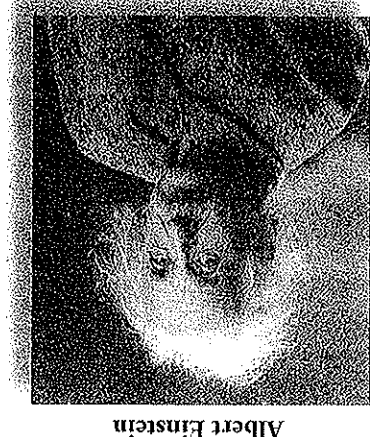
As órbitas eletrônicas são como degraus de uma escada. Ganhos de energia movem o elétron para cima na escada de energia; emissão de energia move-o para baixo. Porém, a escada de energia difere de uma escada comum, pois seus degraus não são igualmente espaçados. Isso significa que a energia que um elétron necessita absorver, ou ceder, a fim de saltar de uma órbita para a próxima pode não ser a mesma que a troca energética necessária para alguns dos outros degraus. Além disso, um elétron não usa necessariamente degraus consecutivos. Ao invés disso, ele usa o que os físicos denominam *regras de seleção*. Em muitos casos, um elétron usa uma sequência de degraus à medida que sobe a escada e outra sequência à medida que desce (Nassau, 1983; 1984). A energia que fica disponível quando o elétron eletricamente carregado se move de um estado ex-

citado (Figura 2-10b) para um estado não-excitado (Figura 2-10c) é emitida pelo átomo como um pacote único de radiação eletromagnética, uma unidade de luz com comportamento de partícula, chamado *fóton*. Toda vez que um elétron salta de um nível energético maior para um menor, um fóton move-se para fora à velocidade da luz.

De alguma forma um elétron deve desaparecer de sua órbita original e reaparecer na sua órbita de destino sem nunca ter que atravessar quaisquer das posições intermediárias. Este processo é chamado de *passo quântico* ou *salto quântico*. Se o elétron salta do seu estado de excitação mais alto para o estado basal num único salto, ele emitirá um único fóton de energia. Também é possível ao elétron saltar de uma órbita excitada até o nível de base numa série de saltos

Assim, vemos que a energia de um quantum é inversamente proporcional ao seu comprimento de onda, i.e., quanto maior o comprimento de onda, menor seu conteúdo energético. Esta relação invésia é importante para o cálculo da intensidade de um feixe de partículas de mesma energia que se move em direção a um detector remoto portador da sugestão de que é mais difícil detectar raiamentos de alta energia do que de baixa.

Figura 2-9 Abecer Ristema (18/9/1953) (courtesy da Library of Congress).



47

(2-9)

(2-8)

Substituindo Q por v (da Equação 2-6), podemos expressar o comprimento de onda associado com o quantum de energia como:

$$\frac{\gamma}{\gamma_0} = \delta$$

$$\frac{\partial}{\partial y} = \gamma$$

de energía como:

$$\frac{\Delta \Psi}{\Psi} = \gamma$$

Quando Q é a energia de um quantum medido em joules, b é a constante de Planck ($6,626 \times 10^{-34}$ Js), c é a velocidade da radiação (Figura 2-11). Tomando a Eqüação 2-3, podemos multiplicar a equação por b/c , ou I, sem alterar seu valor:

(2-6)

(p.ex., do 4 para o 2 para o 1). Se ele da dots passos para atingir o nível de base, entro cada um desses saltos emitirá fótons de um pouco menos de energia. As energias necessárias para saltos devem produzir uma soma total igual a um salto maior (Treffl e Haren, 1995).

Modelos de Radiagão Eletromagnética

Criação de Luz a Partir de uma Partícula Atômica e o Efeito Fotoelétrico

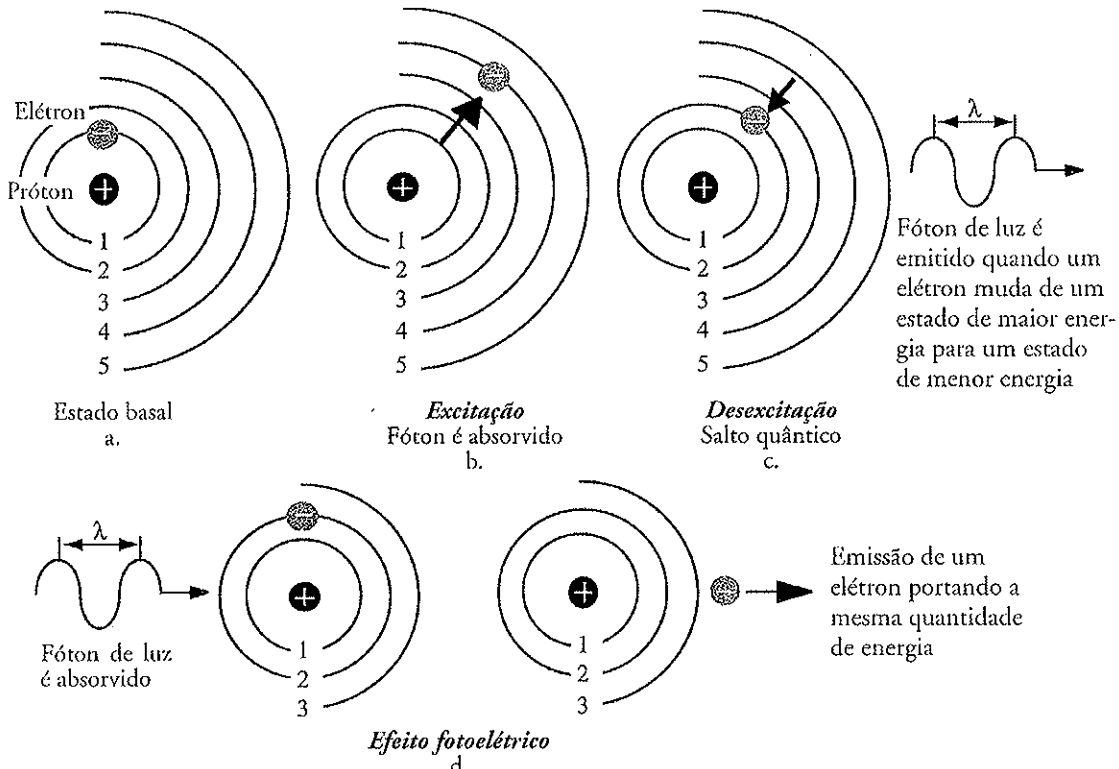


Figura 2-10 a-c) Um fóton de energia eletromagnética é emitido quando um elétron num átomo ou molécula salta de um estado de maior energia para um estado de menor energia. A luz emitida (i.e., seus comprimentos de onda) é uma função das mudanças nos níveis de energia do elétron de valência mais externa. Por exemplo, luz amarela é produzida por uma lâmpada de vapor de sódio na Figura 2-12. d) A matéria também pode ser submetida a temperaturas tão altas que os elétrons, que normalmente se movem em órbitas fixas e não-radiantes, tornam-se livres. Quando isso acontece, o átomo permanece com uma carga positiva igual à do elétron negativamente carregado que escapou. O elétron torna-se um elétron livre e o átomo é chamado de fône. Se um outro elétron livre completa o nível de energia vazio criado pelo elétron liberado, então é produzida radiação de todos os comprimentos de onda, i.e., um espectro de energia contínuo. O intenso calor na superfície do Sol produz um espectro contínuo desta maneira.

eletromagnético, a radiação é produzida por mudanças nos níveis de energia dos elétrons de valências mais externas. Os comprimentos de onda da energia produzida são uma função dos níveis orbitais particulares dos elétrons envolvidos no processo de excitação. Se os átomos absorvem suficiente energia para serem ionizados e se um elétron livre cai para preencher o nível de energia disponível, então a radiação liberada não é quantizada e um *espectro contínuo* é produzido ao invés de uma banda ou uma série de bandas. Cada encontro de um desses elétrons livres com um núcleo carregado positivamente causa mudanças rápidas nos campos elétrico e magnético, de tal forma que é produzida radiação em todos os comprimentos de onda. A superfície quente do Sol em sua grande parte é um *plasma* no qual é produzida radiação de todos os comprimentos de onda. Como mostrado anteriormente na Figura 2-7, o espectro de um plasma como o do Sol é contínuo.

Em átomos e moléculas, mudanças nas órbitas dos elétrons produzem as radiações de menores comprimentos de onda, mudanças nos movimentos vibracionais das moléculas produzem energia no infravermelho e/ou no infravermelho médio, e mudanças nos movimentos rotacionais produzem radiação no infravermelho distante ou nas micro-ondas. No Capítulo 8 (Sensoriamento Remoto no Infravermelho Térmico) será dito mais sobre como a radiação no infravermelho térmico é produzida e registrada pelos sistemas de sensoriamento remoto.



Interações Energia-Matéria na Atmosfera

Energia radiante é a capacidade de a radiação numa banda espectral realizar trabalho. Uma vez que a radiação eletromagnética é gerada, ela é propagada através da atmosfera da

Nas Figuras 2-13 podemos ver que uma atmosfera não-turbulenta pode ser vista como uma série de camadas de pressões, cada uma delas com uma densidade um pouco diferente. Todavia vez que a energia propaga-se através das atmosferas, por uma distância apreciável num ângulo diferente do vertical, ocorre refração.

$$n_1 \operatorname{sen} \theta_1 = n_2 \operatorname{sen} \theta_2 \quad (2-11)$$

A referência pode ser descrita pela lei de Snell, que postula que para uma dada frequência da luz (deveemos usar referência), ela não muda quando a velocidade da luz muda), o produto do índice de refração pelo seno do ângulo entre o e a linha normal à interface é constante:

A velocidade da luz numa subsunica nuncia podc atingir a velocidade da luz no vazio. Portanto, o indice de refração sempre deve ser maior do que 1. Por exemplo, o indice de refração teria que ser menor que 1 para que a luz deslocasse mais lentamente através da água por causa de uma densidade maior.

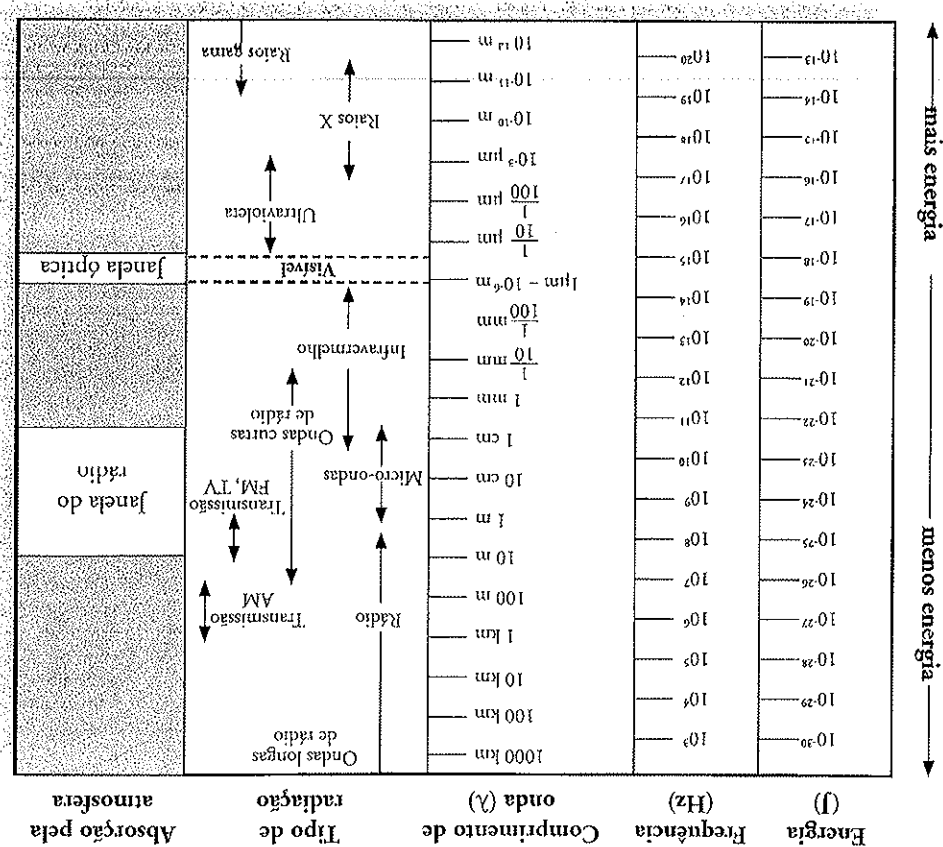
(2-10)

A velocidade da luz no vácuo é de 3×10^8 m/s. Quando a radiação eletromagnética encontra substâncias de diferentes densidades, como ar e água, pode ocorrer a refração. A refração refere-se ao desvio da luz quando ela passa de um meio a um outro de densidade diferente. A refração ocorre porque os meios são diferentes em densidade e a velocidade da RM (radiação eletromagnética) é diferente em cada um deles. O índice de refração (n) é uma razão entre a velocidade da luz no vácuo, c , e a velocidade da luz numa substância como a atmosfera ou água, c' :

Referagão

Torna quase à velocidade da lata num vazio. Ao contrário de um vazio no qual nada acontece, porém, a atmosfera pode se comportar de forma estranha. Ainda que a velocidade da radiação eletromagnética possa ser dividida entre a velocidade da radiação eletromagnética e a velocidade da radiação eletromagnética, a velocidade da radiação eletromagnética é sempre menor que a velocidade da radiação eletromagnética.

Figura 2-11 A círcula dos quanta (fótons) variaando das raios gama às ondas de rádio no espectro eletrromagnético.



Criação de Luz a Partir de Partículas Atômicas numa Lâmpada de Vapor de Sódio

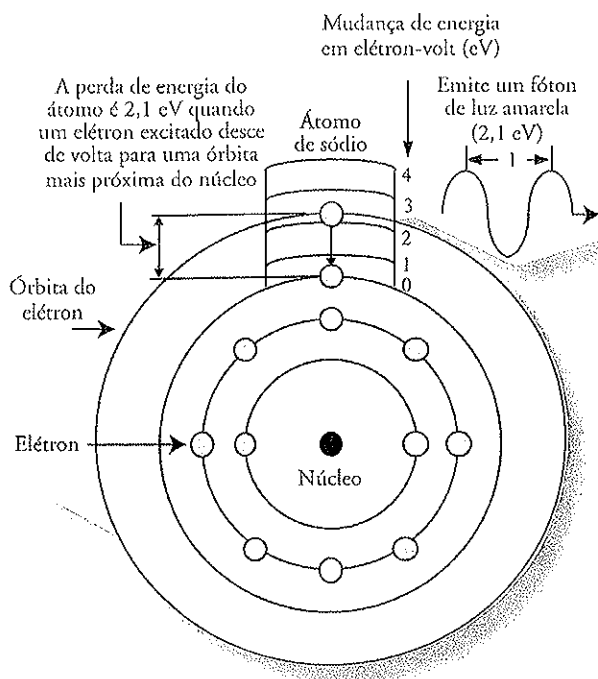


Figura 2-12 Criação de luz a partir de partículas atômicas numa lâmpada de vapor de sódio. Após ser energizado por vários milhares de volts de eletricidade, o elétron mais externo em cada átomo energizado do vapor de sódio sobe para um degrau mais alto na escada de energia e depois retoma a descida da escada numa certa sequência de degraus de uma maneira previsível. Os dois últimos degraus na descendente são separados por 2,1 eV. Isso produz um fóton de luz amarela, o qual tem 2,1 eV de energia (veja Tabela 2-2).

A quantidade de refração é uma função do ângulo feito com a vertical (0), da distância envolvida (na atmosfera, quanto maior a distância, maior a mudança na densidade), e da densidade do ar envolvido (o ar geralmente é mais denso próximo do nível do mar). Sérios erros de localização devidos à refração podem ocorrer em imagens formadas a partir da energia detectada em altas altitudes ou sob ângulos muito agudos. Entretanto, esses erros de localização são previstos pela lei de Snell e, portanto, podem ser removidos.

Observe que

$$\operatorname{sen} \theta_2 = \frac{n_1 \operatorname{sen} \theta_1}{n_2} \quad (2-12)$$

Assim, se conhecermos o índice de refração dos meios n_1 e n_2 e o ângulo de incidência da energia no meio n_1 , é possível prever a quantidade de refração que ocorrerá ($\operatorname{sen} \theta_2$)

no meio n_2 usando relações trigonométricas. É interessante notar, porém, que a maioria dos analistas de imagens nunca se preocupa em computar o índice de refração.

Espalhamento

Um sério efeito da atmosfera é o espalhamento da radiação pelas partículas atmosféricas. O *espalhamento* difere da refração no sentido de que a direção associada ao espalhamento é imprevisível, enquanto a direção da refração (para resumir a definição) é previsível. Essencialmente, há três tipos de espalhamento: Rayleigh, Mie e espalhamento não-seletivo. As principais subdivisões da atmosfera e os tipos de moléculas e acossos encontrados em cada camada são mostrados na Figura 2-14 (Miller e Vermote, 2002). O tamanho relativo do comprimento de onda da radiação eletromagnética incidente, do diâmetro dos gases, do vapor d'água, e/ou da poeira com os quais a energia interage, e o tipo de espalhamento que deverá ocorrer estão resumidos na Figura 2-15.

O *espalhamento Rayleigh* (frequentemente chamado de *espalhamento molecular*) ocorre quando o diâmetro efetivo da matéria (geralmente moléculas de ar, tais como oxigênio e nitrogênio na atmosfera) é muitas vezes menor (geralmente $<0,1$) que o comprimento de onda da radiação eletromagnética incidente (Figura 2-15a). O espalhamento Rayleigh é chamado assim em homenagem ao físico inglês Lord Rayleigh, que forneceu a primeira explicação coerente para ele. Todo espalhamento ocorre com absorção e re-emissão de radiação pelos átomos ou moléculas da maneira previamente descrita na seção sobre radiação das estruturas atômicas. É impossível prever a direção na qual um átomo ou molécula específicos emitirá um fóton, portanto espalhamento. A energia requerida para excitar um átomo está associada com a potente radiação de ondas curtas, de alta frequência.

A quantidade aproximada de espalhamento Rayleigh na atmosfera nos comprimentos de onda ópticos ($0,4 - 0,7 \mu\text{m}$) pode ser computada usando o algoritmo de espalhamento pela seção-transversal de Rayleigh (τ_m) (Cracknell e Hayes, 1983):

$$\tau_m = \frac{8\pi^3(n^2-1)^2}{3N^2\lambda^4} \quad (2-13)$$

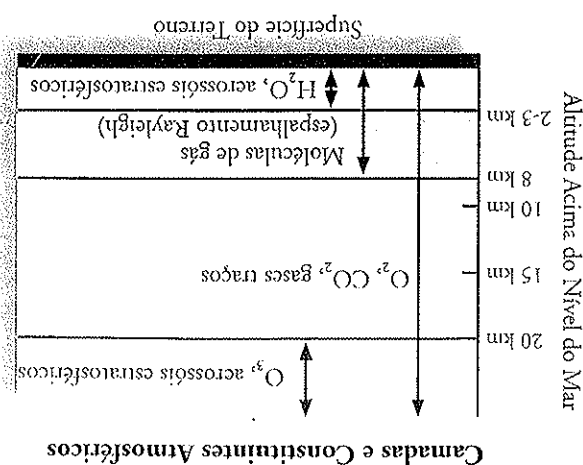
Onde n = índice de refração, N = número de moléculas de ar por unidade de volume, λ = comprimento de onda. A quantidade de espalhamento é inversamente relacionada à quarta potência do comprimento de onda da radiação. Por exemplo, a luz ultravioleta de $0,3 \mu\text{m}$ é espalhada aproximadamente 16 vezes mais do que a luz vermelha de $0,6 \mu\text{m}$, i.e., $(0,6/0,3)^4 = 16$. A luz azul de $0,4 \mu\text{m}$ é espalhada cerca de cinco vezes mais que a luz vermelha de

O esquema de solvato atmosférica, onde há partículas > 10 μ e vezes o comprimento da barra de óxido de ferro maior que a barra de óxido de ferro, ocorre nas portuguesas latas de óxido de ferro.

O esfalfamento *Mir* (as vezes denominado de náo-mole-
cucular ou por partículas de aerosóis) ocorre nos 4,5 km in-
terioriores da atmosfera, onde podem existir muitas partículas
essencialmente esféricas com diâmetros proximamente
iguais ao tamanho do comprimento de onda da energia
incidente (figura 2-15b). O ramalho real das partículas
podem variar de 0,1 a 10 vezes o comprimento de onda da
energia incidente. Para a luz visível, os príncipais agentes
de esfalfamento são a poeira e outras partículas variadas
que englobam partículas de micrómetros a vários micrómetros
de diâmetro. A magnitude desses esfalfamentos é maior
quanto a espessura de atmosfera que se estende para além
da espessura de 100 m. Quando a espessura da atmosfera
excede 100 m, a magnitude desse esfalfamento diminui
progressivamente. Quando a espessura da atmosfera excede
cerca de 1000 m, a magnitude desse esfalfamento é menor
que a da radiação solar direta. A magnitude desse esfalfamento
é menor quando a espessura da atmosfera é menor. Quando
a espessura da atmosfera é menor, a magnitude desse esfalfamento
é menor. Quando a espessura da atmosfera é menor, a magnitude desse esfalfamento é menor.

Violência e do azul são espalhados ainda mais durante os seus longos percursos através do ar que quandido o Sol está a apagar. A longa exposição ao sol provoca queimaduras de pele, queimaduras de olhos e queimaduras de olhos e de pele.

Figura 2-14 Principais subtipos de aritmoseis em cada camada molecular e excessos de interconversões da amioscira c os tipos dc adaptado de Willer e Vermoste, 2002).



A maioria do espalhamento Rayleigh por moléculas de gás ocorre na atmosfera, de 2 a 8 km acima do solo (Figura 2-14). O espalhamento Rayleigh é responsável pela absorção da radiação eletromagnética que é emitida pelos gases atmosféricos. Os comprimentos de onda mais curtos (vermelhos) são mais eficientemente espalhados que os comprimentos de onda maiores (azuis e verdes). Quando o sol brilha, a radiação visível é dividida em um espectro de cores, com maior intensidade no azul (que é mais dispersado) e menor intensidade no vermelho (que é menos dispersado). A dispersão de ondas de rádio é muito menor que a dispersão de ondas de visibilidade, portanto, a dispersão de ondas de rádio é menor que a dispersão de ondas de visibilidade.

0,6 μm, i.e., $(0,6/0,4)^4 = 0,06$. A quanidade de espalhamento Rayleigh esperada em todo o espectro visível ($0,4 - 0,7 \mu\text{m}$) é mostrada na Figura 2-16.

Figura 2-13 Reflagrao com resas camadas atmosféricas não-turbulentas. A energia incidente é desviada de sua trajectória nominal quando desloca de uma camada atmosférica para outra. A lei de Snell pode ser usada para prever quantos degraus existem entre duas camadas atmosféricas diferentes (n_1) e (n_2) e no índice de refração da cada nível ar-

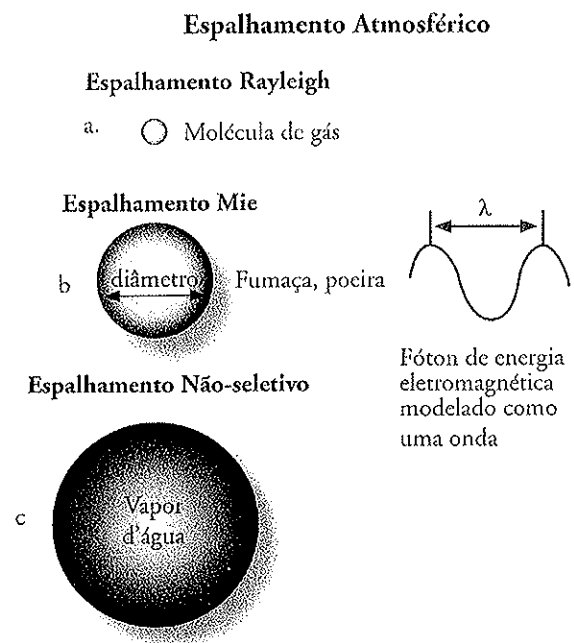


Figura 2-15 O tipo de espalhamento é uma função do 1) comprimento de onda da energia radiante incidente e 2) tamanho da molécula de gás, partícula de poeira, e/ou gotículas de vapor d'água encontradas.

mente bem, fazendo com que a nuvem pareça branca. O espalhamento não-seletivo de aproximadamente iguais proporções de luz azul, verde e vermelha sempre aparece como luz branca ao observador comum. Esta é a razão porque ao usarmos a luz alta do nosso veículo durante um nevoeiro apenas torna pior o problema, pois espalhamos não-seletivamente ainda mais luz no nosso campo de visada.

O espalhamento é uma consideração muito importante em pesquisas em sensoriamento remoto. Ele pode reduzir severamente o conteúdo de informação dos dados de sensoriamento remoto até o ponto que a imagem perde contraste e torna-se difícil diferenciar um objeto de outro.

Absorção

Absorção é o processo pelo qual a energia radiante é absorvida e convertida em outras formas de energia. A absorção da energia radiante incidente ocorre na atmosfera ou no terreno. Uma *banda de absorção* é um intervalo de comprimentos de onda (ou frequências) do espectro eletromagnético no qual a energia radiante é absorvida por uma substância. Os efeitos da água (H_2O), dióxido de carbono (CO_2), oxigênio (O_2), ozônio (O_3) e óxido nitroso (N_2O) sobre a transmissão da luz através da atmosfera estão resumidos na Figura 2-17a. O efeito cumulativo da absorção pelos vários

Intensidade do Espalhamento Rayleigh Varia Inversamente com λ^4

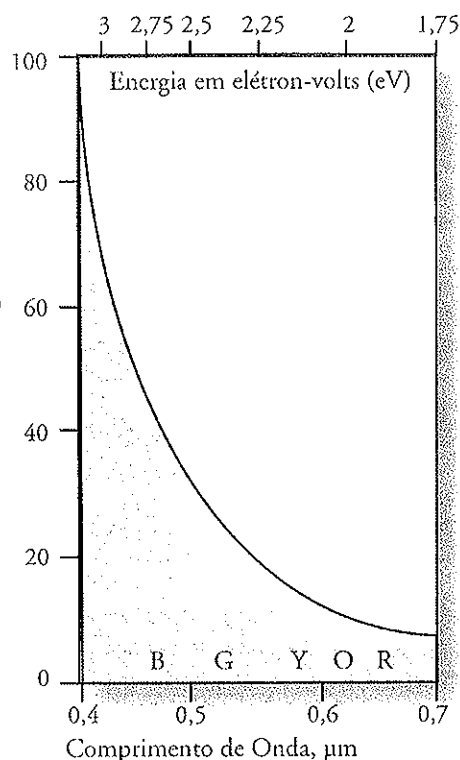


Figura 2-16 A intensidade do espalhamento Rayleigh varia inversamente com a quarta potência do comprimento de onda (λ^4).

constituíntes pode fazer com que a atmosfera se “feche” completamente em certas regiões do espectro. Isso é ruim para o sensoriamento remoto porque nenhuma energia fica disponível para ser registrada por sensoriamento remoto. Por outro lado, na porção visível do espectro eletromagnético (0,4 – 0,7 μm), a atmosfera não absorve toda a energia incidente, mas a transmite efetivamente bem. Porções do espectro que transmitem a energia radiante com eficiência são chamadas de *janelas atmosféricas*.

A absorção ocorre quando a energia incidente de mesma frequência que a frequência resonante de um átomo ou molécula é absorvida, produzindo um estado excitado. Se ao invés de rerradiar um fóton do mesmo comprimento de onda, a energia for transformada em calor e for subsequentemente rerradiada num comprimento de onda maior, ocorre absorção. Quando se trata de um meio como o ar, a absorção e o espalhamento são frequentemente combinados num *coeficiente de extinção* (Konecny, 2003). A

A taxa temporal do fluxo de energia em direção a, para formas de, ou através de uma superfície é chamada de *fluxo radiante* (ϕ) e medida em watts (W) (Tabela 2-4). As características do fluxo radiante e o que acontece com ele quando interage com a superfície da Terra é de importância crucial no sensoriamento remoto. De fato, este é o foco fundamental da maioria das pesquisas em sensoriamento remoto. Pelo monitoramento cuidadoso da natureza extra-

O Terreno

Ala maior parte do Huico jardanite incide na atmosfera. Uma quantidade nenhuma é emitida para o ar. As nuvens e outros materiais na atmosfera, que se acumulam nas nuvens, os polímeros, os plásticos da indústria especial e diluída suspenso no ar, contribuem para o desgaste.

Será a superfície tem uma grande altura superficial (rugosidade) relativa mente ao ramalho do compimento de onda da energia incidente, os raios refletidos vão em multas direções, dependentemente da orientação das superfícies reflectoras menores. Esta reflexão difusa não produz uma imagem completa, mas sim uma reflexão difusa (Figura 2-18c). Pode brilhar, mas não é espelhante (Figura 2-18d). Isto pode ocorrer um esplahamento impulsional. Iamperiormente, quando a superfície é suave e constante para o fluxo radiante que deixa a superfície é aquela na qual umicamente chamada superfície Lambertiana é assim, a condizência com a superfície perfeita (Figura 2-18d).

ondas da radiação que cessa atingindo a superfície). Varias ondas eletromagnéticas como corpos d'água calmos, atiram como refletores especulares quando preferem (Figura 2-18a,b). Se houver mudanças súbitas na superfície ou no fundo do mar, a energia incidente desvia para a superfície ao contrário. Sabe-se que a radiação é absorvida por parte da atmosfera e pelo solo, mas é também emitida de volta para o espaço. A radiação que é emitida de volta para o espaço é chamada de radiação de escape.

A *reflexão espacial* é o processo pelo qual a radiação é refletida e essencialmente lisa (i.e., a altura média do perfil ocorre quando a superfície a partir da qual a radiação é absorvida é menor que a altura média de várias vezes o comprimento de aproximação entre iguais), como mostrado na Figura 2-18.

Reflexancia

A energia que atinge o sistema de sensores é remota de passar pela atmosfera vezas. Assim, é comum identificar dois coeficientes de transmissão atmosférica: um para a energia chegamdo à atmosfera (T_a) num ângulo de incidência relativa a atmosfera (T_r) e outro de fonte de energia (T_f), e um para a energia refletida ou emitida pela superfície da Terra que deve passar pela atmosfera para atingir o sistema sensor remoto (T_o). Veremos o quanto esses dois parâmetros são importantes na discussão sobre correção atmosférica, posteriormente neste capítulo.

A clorofila na vegetação absorve muito da luz azul e vermelha incideente para fins de fotossíntese. O Capítulo 10 descreve a importância dessas bandas de absorção da clorofila e suas papéis durante o sensoriamento remoto da vegetação. Similarmente, a água é um excelente absorvedor de energia (Capítulo 11). Muitos minerais têm características únicas de absorção em portes muito específicas do espectro de detonação que nos permitem usar o sensoriamento remoto para identificá-los (Capítulo 13), assumindo que não haja vegetação sobrejacente (Clark, 1999).

transmissões e informações relacionadas ao conhecimento da ciência da computação e a cibernetica da computação. Certos comprimentos de onda da radiação são mais afetados pela absorção do que outros e a cibernetica da computação é a responsável por esses efeitos. Os comprimentos de onda que são mais afetados pela absorção são os comprimentos de onda que são mais afetados pela absorção. Os comprimentos de onda que são mais afetados pela absorção são os comprimentos de onda que são mais afetados pela absorção.

Interações Energia-Materia na Atmosfera

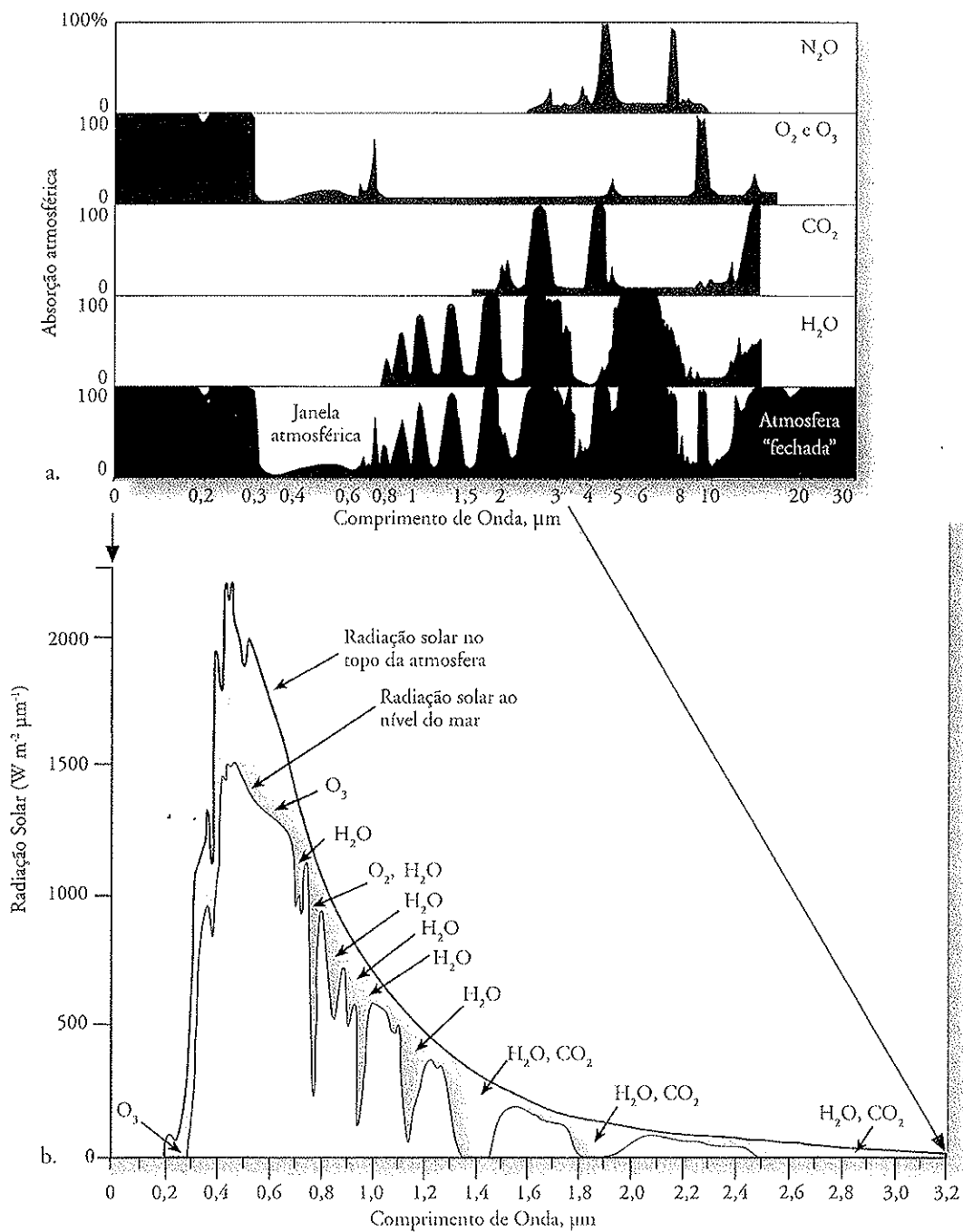


Figura 2-17 a) Absorção da energia eletromagnética do Sol incidente na região de 0,1 a 3,0 μm por vários gases atmosféricos. Os primeiros quatro gráficos mostram as características de absorção do N_2O , O_2 e O_3 , CO_2 e H_2O , enquanto o último gráfico mostra o resultado acumulado de todos esses constituintes estando na atmosfera ao mesmo tempo. A atmosfera essencialmente "se fecha" em certas porções do espectro, enquanto "janelas atmosféricas" existem em outras regiões, as quais efetivamente transmitem energia ao terreno. São nessas janelas que os sistemas de sensoriamento remoto devem funcionar. b) O efeito combinado da absorção, espalhamento e reflectância atmosféricos reduzem a quantidade de irradiância solar que atinge a superfície da Terra ao nível do mar.

(2-17)

A absorção hemisférica (α_s) é definida pela relação adimensional:

(2-16)

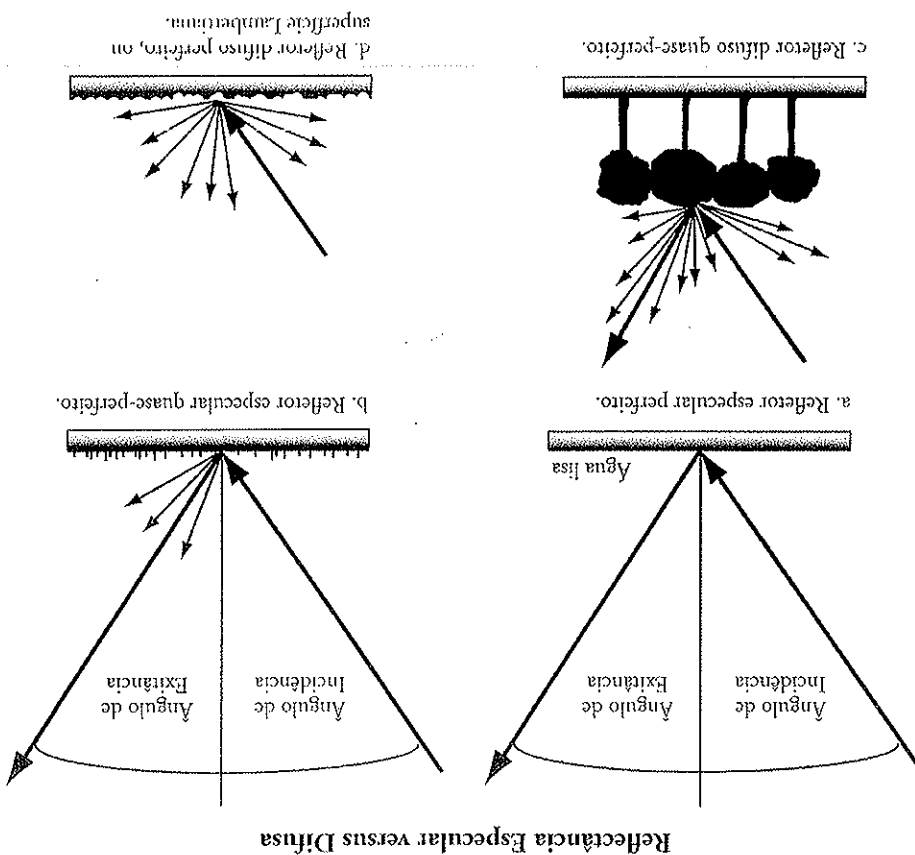
Veja de que uma superfície e o fluxo radiante incidente nela dividem-se entre o fluxo radiante transmitido por (atra-

(2-15)

A transmissão hemisférica (τ_s) é definida como a razão de o fluxo radiante incidente na superfície (Φ_s) e refletido por uma super-

Refletância, Absorância e Transmissão

Figura 2-18 A natureza da refletância espacial e difusa.



Interações Energia-Materia no Terreno

meado de uma esfera).

E importante notar que essas grandezas radiométricas são baseadas na quantidade de energia radiante incidente num hemisfério (i.e.,

$\Phi_s = \Phi_{refletido} + \Phi_{absorvido} + \Phi_{transmitido}$.

pela superfície ($\Phi_{transmitido}$):

$(\Phi_{absorvido})$, e quantidade de fluxo radiante absorvido pela superfície dividida de fluxo radiante refletido pela superfície ($\Phi_{refletido}$), deve ser balançado pela available da quantidade (Φ_s) devendo (que) incidente no terreno (Φ_s) compõem de onda espectral (λ) incidente em estabelece que a quantidade total de fluxo radiante em termos simples quanto ao balanço de radiação, que

radiante incidente ou emergente (Tabela 2-4). Com efeito, ao analisar manter um registo clíodoso do fluxo formam identificadas grandezas radiométricas que permitem obter informações sobre o terreno,

de ondas seletivas e como elas interage com o terreno, e do fluxo radiante que chega (incidente) em comprimentos

Tabela 2-4. Conceitos radiométricos (Colwell, 1983).

Nome	Símbolo	Unidades	Conceito
Energia radiante	Q_λ	joules, J	Capacidade de a radiação, numa banda espectral específica, realizar trabalho.
Fluxo radiante	Φ_λ	watts, W	Taxa temporal do fluxo de energia em direção à emergente da, ou através da superfície.
Densidade de fluxo radiante na superfície	E_λ	watts por metro quadrado, $W\ m^{-2}$	Fluxo radiante incidente sobre a superfície por unidade de área da superfície.
Irradiância	M_λ	watts por metro quadrado, $W\ m^{-2}$	Fluxo radiante emergente da superfície por unidade de área da superfície.
Radiância	L_λ	watts por metro quadrado, por esterradiano, $W\ m^{-2}\ sr^{-1}$	Intensidade radiante por unidade de área-fonte projetada numa direção específica.
Reflectância hemisférica	ρ_λ	adimensional	$\frac{\Phi_{refletido\lambda}}{\Phi_\lambda}$
Transmitância hemisférica	τ_λ	adimensional	$\frac{\Phi_{transmitido\lambda}}{\Phi_\lambda}$
Absortância hemisférica	α_λ	adimensional	$\frac{\Phi_{absorvido\lambda}}{\Phi_\lambda}$

ou

$$\alpha_\lambda = 1 - (\rho_\lambda + \tau_\lambda). \quad (2-18)$$

Essas definições implicam que a energia radiante deve ser conservada, i.e., ela é refletida de volta por reflexão, transmitida através de um material, ou absorvida e transformada em alguma outra forma de energia no interior dos componentes do terreno. O efeito líquido da absorção de radiação pela maioria das substâncias é que a energia é convertida em calor, causando um subsequente aumento da temperatura da substância.

Essas grandezas radiométricas são úteis na produção de afirmações gerais sobre as características de reflectância, transmitância e absorção das feições do terreno. De fato, se tomarmos a simples equação da reflectância hemisférica

e a multiplicarmos por 100, obtemos uma expressão para a reflectância em percentagem ($\rho_{\lambda\%}$):

$$\rho_{\lambda\%} = \frac{\Phi_{refletido\lambda}}{\Phi_\lambda} \times 100, \quad (2-19)$$

que é frequentemente usada na pesquisa em sensoriamento remoto para descrever as características de reflectância espectral de vários fenômenos. Exemplos de curvas de reflectância espectral percentual para fenômenos urbanos-periurbanos selecionados são mostrados na Figura 2-19. As curvas de reflectância espectral não fornecem nenhuma informação sobre a absorção e transmitância da energia radiante. Mas porque muitos dos sistemas sensores, como câmeras e alguns escâneres multiespectrais, registram apenas a energia refletida, esta informação ainda é de grande utilidade e pode formar a base para a avaliação e identificação do objeto.

A quantidade de fluxo radiente incidente sobre uma superfície por unidade de área da superfície é chamada de intensidade (I):

Irradiância e Extrema

Uma área plana (p.ex., com dimensões de $1 \times 1 \text{ m}$) sendo iluminada pelo Sol com um fluxo radiante (ϕ) em com-
primimentos de onda espefíficos (λ) e mostrada na Figura 2-20. A quantidade de fluxo radiante intercambiado divi-
didá pela área da superfície plana é a densidade de fluxo.

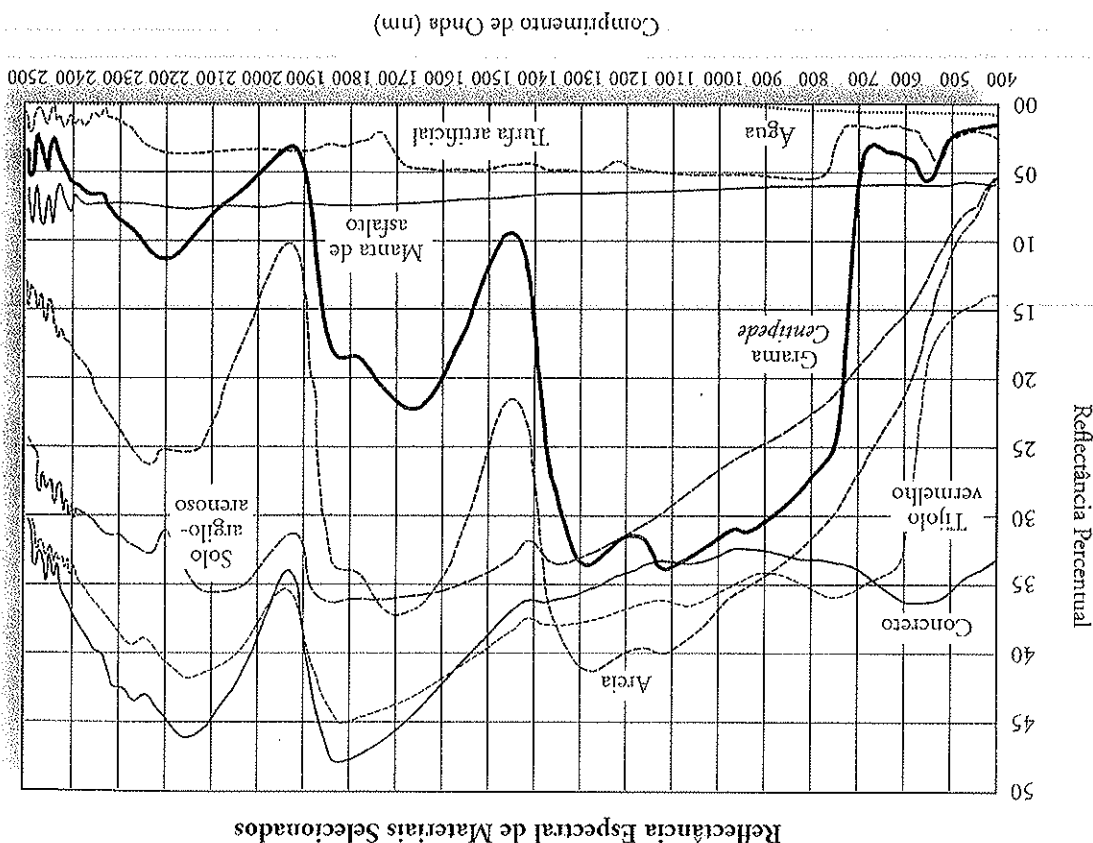
Densidade de Fluxo Radiante

importante reuniões nossas técnicas de medicago rádio-
magnética de tal forma que informações radiofônicas mais
precisas possam ser extraídas dos dados de estimativa
remoto (Du et al., 2002). Isto requer a introdução de di-
versas gizanças radiofônicas que fornecem informações
radionômicas gradiativas maiores.

As grandezas refecccionais, tais qualitativas e absorbtivas he-
mifisticas nado forneceem informaçoes sobre a quanidade
extra de cinergia atingindo uma area especifica no terreno
provocante de um dréga extra de uma dréga extra de uma
dade extra de fluxo radiante comeghido do terreno numa
cerca direçao. Os sistemas de sensotiamento remoto podem
ficar posicionados num ponto do espaço durante apenaas
um ponto unico no tempo, e geralmente observam uma
pequena porção da Terra num certo instante. Portanto, é

Por exemplo, é claro a partir da Figura 2-19 que a grama *Centipede* reflete apenes cerca de 3/4 por cento da energia solar incidente no vermelho ($0,6 - 0,7 \mu\text{m}$), enquanto reflete até aproximadamente 35 por cento do fluxo radiano incidente no infravermelho proxímo ($0,7 - 0,9 \mu\text{m}$). Se esse mesmo discriminador entre grama e turfa artifical, a porta de entrada para o sensorium remoto é removido, a refletância do especulo para o infravermelho proxímo, possa a turfa artifical refletir apenes cerca de 5 por cento da energia incidente no infravermelho proxímo. Isto faria com que uma imagem infravermelha preto-e-branca do terreno mostrasse a grama *Centipede* em tons brilhantes e a turfa artifical em tons mais escuros.

Figura 2-19 Curvas de re efectividad espectral para funciones urbanas-perturbaciones en radiofrecuencia espectral $\lambda = 100 - 2.500$ nm obtenidas usando un espectrómetro portátil (o Capítulo 15 describe como se miden las re efectividades de *in situ* solo coleadas).



$$E_\lambda = \frac{\Phi_\lambda}{A} \quad (2-20)$$

A quantidade de fluxo radiante que emerge de uma superfície por unidade de área da superfície é chamada de *exitância* (M_λ):

$$M_\lambda = \frac{\Phi_\lambda}{A} \quad (2-21)$$

Ambas as grandezas são geralmente medidas em Watts por metro quadrado (W m^{-2}). Embora não tenhamos informação da direção, seja da energia incidente seja da emergente (i.e., a energia pode chegar e sair em qualquer ângulo de todo o hemisfério), temos que refinar a medida para incluir informação sobre o tamanho da área de estudo de interesse no solo em m^2 . Após isso, precisamos refinar nossas técnicas de medição radiométrica para incluir informação sobre qual direção o fluxo radiante deixará a área de estudo.

Radiâncias

A radiância é a medida radiométrica mais precisa em sensoriamento remoto. *Radiância* (L_λ) é a intensidade radiante por unidade de área-fonte projetada numa direção específica. É medida em Watts por metro quadrado por esterradiano ($\text{W m}^{-2} \text{ sr}^{-1}$). O conceito de radiância é mais bem entendido pela análise da Figura 2-21. Primeiro, o fluxo radiante deixa a área-fonte projetada numa direção específica em direção ao sensor remoto. Não estamos preocupados com quaisquer outros fluxos radiantes que poderiam estar deixando a área-fonte em qualquer outra direção. Estamos interessados apenas no fluxo radiante em certos comprimentos de onda (Φ_λ) deixando a área-fonte projetada (A) numa certa direção ($\cos \theta$) e num ângulo sólido (Ω) (Milman, 1999):

$$L_\lambda = \frac{\Phi_\lambda}{A \cos \theta \Omega} \quad (2-22)$$

Uma maneira de visualizar o ângulo sólido é considerar o que você veria se estivesse num avião e olhasse com um telescópio para o solo. Apenas a energia que emergisse do terreno e viesse em direção ao telescópio num ângulo específico (medido em esterradianos) seria interceptado pelo telescópio e visto por seus olhos. Assim, o ângulo sólido é como um cone tridimensional (ou tubo) que afunila o fluxo radiante vindo de uma fonte pontual no terreno em direção ao sistema sensor. Espera-se que a energia proveniente da atmosfera ou de outras partes do terreno não seja espalhada para dentro do campo de visada do ângulo sólido e contamine o fluxo radiante proveniente da área de interesse no terreno. Infelizmente, com frequência não é isso o que ocorre, pois o espalhamento na atmosfera e em outras áreas

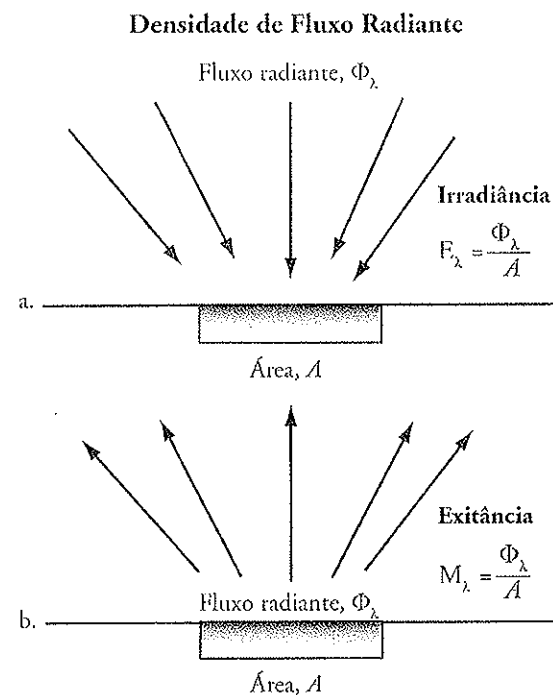
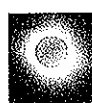


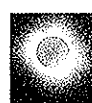
Figura 2-20 Conceito de densidade de fluxo radiante para uma área sobre a superfície da Terra. a) *Irradiância* é uma medida da quantidade de fluxo radiante incidente na superfície por unidade de área da superfície, medida em Watts por m^2 . b) *Exitância* é uma medida da quantidade de fluxo radiante deixando uma superfície por unidade de área da superfície, medida em Watts m^{-2} .

próximas no terreno pode contribuir com energia espectral espúria, que entra no campo de visada do ângulo sólido.



Interações Energia-Matéria na Atmosfera

O fluxo radiante refletido ou emitido pela superfície da Terra entra novamente na atmosfera, onde interage com vários gases, vapor d'água e particulados. Assim, o espalhamento, a absorção, a reflexão e a refração atmosféricos influenciam o fluxo radiante uma vez mais antes que a energia seja registrada pelo sistema de sensoriamento remoto.



Interações Energia-Matéria no Sensor

Finalmente, interações energia-matéria ocorrem quando a energia atinge o sensor remoto. Se uma câmera aérea estiver sendo usada, então a radiância interagirá com o filtro, as lentes ópticas de vidro da câmera, e finalmente com a

é uma função da irradiação solar espacial no topo da atmósfera (F_x) multiplicada pela transmissão atmosférica (T_x) num certo ângulo zenith solar (θ), mais a contribuição da irradiação solar difusa (F_y).

$$E_{\theta\alpha} = \int_{\lambda_1}^{\lambda_2} (E_{\theta\alpha} T_{\theta\alpha} \cos \theta + E_{\theta\alpha}) d\lambda \quad (\text{W m}^{-2} \mu\text{m}^{-1}). \quad (2-23)$$

Portanto, para um dado intervalo de temperatura, o efeito termodinâmico solar total atingindo a superfície vermelha), a irradiação solar total atingindo a superfície da Terra, E_{B} , é uma integração das razões componentes

A *trigéfona* é a cantiga que tem pelo loi refeirida pedo terrano proximoto para a atmosfera, mas que cantafo foi espalhada ou refeguida para a área de estudo.

A *metáfora* é contém a ideiação que foi refeita ou espalhada pelo cerimônio proxímico (*Pa.*) coberto por nervos, concretos, solo, águas, elas vêem a energia para dentro do IHOV do sistema senhor A energia não ilumina efetivamente a área de interesse. Portanto, se possível, deve-se armazenar a ideia de suas efetos.

- A instalação 3 contagem a energia provisória é feita de solo que sofreu alargamento espalhamento Rayleigh, Mie, e ou espaço. Ilhamento não-seletivo e latentes alguma absorção é referido a antecâmara de iluminação. A área de estudo, sua composição especial e polarizada pode ser um pouco diferente da configuração atinge o terceiro segundo a trajetória I. Cireen (2003) refere-se a essa grandeza como reflecância atmosférica descendente (F_{ad}).

transmisstionica atmosférica necessite alongado (T_0). Se toda a irradiação atinge o terreno, então, cumpre a transmisstionica atmosférica atmosférica (T_0) é um. Se nenhuma irradiação atinge o terreno, então a transmisstionica atmosférica é zero.

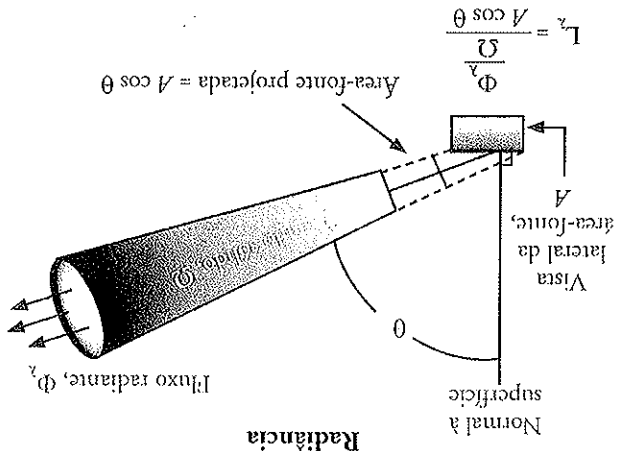
A medida que o sol se move no céu, a irradiação solar varia ao longo do dia. A intensidade da irradiação solar é determinada por fatores como a latitude, a altitude, a hora do dia e a época do ano. A irradiação solar é medida em quilowatts por metro quadrado (W/m^2). A irradiação solar é dividida em irradiação direta (que é a parte que chega diretamente da fonte) e irradiação difusa (que é a parte que é refletida por nuvens e partículas no ar).

delembiente, a radiância (L) registrada por uma câme-
ra ou detector é uma função verificada da quantida-
de de radiação emergente do avô no território dentro
do campo de visão instantâneo (FOV) num ângulo
solido específico, como discutido previamente. Infeliz-
mente, outras energias radiantes provenientes de variá-
veis tracionais podem adentrar no campo de visada e
outras tracionais podem adentrar no campo de visada e
introduzir ruído/confundir o processo de processamento
de remoto. Assim, definições de variáveis radiométricas
adicionais são necessárias para identificar as principais
fontes de transferências dessa energia (Cracknell e Hayes,
1993; Green, 2003). As variáveis estão intimamente ligadas
às radianciais aliadas um sensor remoto capaz de resi-
-Tabela 2-5. As variáveis tracionais e fatores que determinam a radiância atingindo um sensor remoto estudo resi-

Alvo e Radiância de Trajetória

emulsaõ do filme com seu critérios de seleção de prata sen-
síveis à luz. A emulsaõ deve entrar no revelador e impre-
ssões que uma cópia analógica cesa a disponível para analise.
Ao invés de armazenar uma imagem tecnicamente filmic, um
detector óptico-mecânico registra digitalmente o níme-
ro de fotons atingindo o sensor em regiões específicas.
comprimento de onda nítido específicos.

Figura 2-21 Consecutivo de *midichloria* deixando uma área forte pro-
jeetada espelhada no terreno, numa direção específica.
e num ângulo sólido específico.



Interações Energia-Materia no Sensor

Tabela 2-5. Variáveis radiométricas usadas em sensoriamento remoto.

Variáveis Radiométricas	
E_o	irradiância solar no topo da atmosfera (W m^{-2})
$E_{o\lambda}$	irradiância solar espectral no topo da atmosfera ($\text{W m}^{-2} \mu\text{m}^{-1}$)
E_d	irradiância solar difusa (W m^{-2})
$E_d\lambda$	irradiância solar espectral difusa ($\text{W m}^{-2} \mu\text{m}^{-1}$)
$E_{a\lambda}$	a reflectância ascendente da atmosfera
$E_{d\lambda}$	a reflectância descendente da atmosfera
E_g	irradiância global incidente na superfície (W m^{-2})
$E_{g\lambda}$	irradiância global espectral incidente na superfície ($\text{W m}^{-2} \mu\text{m}^{-1}$)
τ	espessura óptica atmosférica normal
T_{θ}	transmitância atmosférica num ângulo θ com o zênite
θ_s	ângulo zenital solar
θ_v	ângulo de visada do sensor a bordo do satélite (ou ângulo de varredura)
μ	$\cos \theta$
ρ_λ	reflectância superficial do alvo num comprimento de onda específico
ρ_{λ_n}	reflectância de uma área vizinha
L_s	radiância total no sensor ($\text{W m}^{-2} \text{sr}^{-1}$)
L_r	radiância total do alvo de interesse em direção ao sensor ($\text{W m}^{-2} \text{sr}^{-1}$)
L_i	radiância intrínseca do alvo ($\text{W m}^{-2} \text{sr}^{-1}$) (i.e., o que um radiômetro portátil registraria no terreno sem a interferência da atmosfera)
L_p	radiância de trajetória de múltiplos espalhadores ($\text{W m}^{-2} \text{sr}^{-1}$)

Apenas uma pequena quantidade desta irradiância é realmente refletida pelo terreno na direção do sistema sensor a bordo do satélite. Se assumirmos que a superfície da Terra seja um refletor difuso (uma superfície Lambertiana), a quantidade total de radiância emergindo do alvo da área de estudo (L_r) em direção ao sensor é:

$$L_r = \frac{1}{\pi} \int_{\lambda_1}^{\lambda_2} \rho_\lambda T_{\theta_v} (E_{o\lambda} T_{\theta_o} \cos \theta_o + E_{d\lambda}) d\lambda. \quad (2-24)$$

A reflectância média da superfície do alvo (ρ_λ) é incluída porque a vegetação, o solo, e a água dentro do IFOV absorvem seletivamente parte da energia incidente. Portanto, nem toda a energia incidente para o IFOV ($E_{o\lambda}$) emerge para o IFOV. Com efeito, o terreno atua como um filtro, absorvendo seletivamente certos comprimentos de onda da luz enquanto refletindo outros. Note que a energia emergindo do terreno está num ângulo (θ_v), requerendo o uso de um fator de transmitância atmosférica T_{θ_v} outra vez.

Seria maravilhoso se a radiância total registrada pelo sensor, L_s , se igualasse à radiância retornada do alvo em estudo na área de interesse, L_r . Infelizmente, $L_s \neq L_r$ porque há alguma radiância adicional de diferentes trajetórias que podem adentrar ao IFOV do detector do sistema sensor (Figura 2-22). Isso é geralmente chamado de *radiância de trajetória*, L_p . Assim, a radiância total registrada por um sensor torna-se:

$$L_s = L_r + L_p (\text{W m}^{-2} \text{sr}^{-1}). \quad (2-25)$$

Vemos pela Equação 2-25 e Figura 2-22 que a radiância de trajetória (L_p) é um componente intrusivo (mau) na quantidade total de radiância registrada pelo sistema sensor (L_s). Ela é composta de energia radiante proveniente primariamente da irradiância solar difusa (E_d) da trajetória 2 e também da reflectância de áreas do terreno próximas (ρ_{λ_n}) da trajetória 4. A radiância de trajetória introduz erros no processo de coleta de dados por sensoriamento remoto. Ela pode impedir-nos de obter medições espectrais exatas.

Uma grande quantidade de trabalhos foi feita para desenvolver métodos de remoção da contribuição da radiância de trajetória (L_p). Os métodos para computar a radiância de trajetória estão sumarizados em Richards e Jia (1999). Programas de modelos de transferência radiativa como o MODTRAN, o Second Simulation of the Satellite Signal in the Solar Spectrum (6S), e outros podem ser usados para prever a radiância de trajetória num dia particular para uma particular área de estudo (p.ex., Matthew et al., 2000; InSpec, 2002; Vermote et al., 2002). Tal informação pode então ser usada para remover a contribuição da radiância de trajetória (L_p) para o sinal de sensoriamento remoto (L_s) (p.ex., Research Systems, 2003; Green, 2003). Song et al. (2001) e Jensen (2005) fornecem informação sobre quando e como remover os efeitos deletérios da radiância de trajetória. O processo é comumente chamado de correção radiométrica.

Os métodos de coleta de medidas de reflectância espectral *in situ* que podem ser usadas para corrigir atmosfericamente os dados de sensoriamento remoto são apresentados no Capítulo 15.

- Konecny, G., 2003, *Geoinformation: Remote Sensing, Photogrammetry and GIS*, N.Y.: Taylor & Francis, 248 p.
- Matthew, M. W. and 13 co-authors, 2000, "Status of Atmospheric Correction Using a MODTRAN4-based Algorithm," *SPIE Proc. Algorithms for Multispectral, Hyperspectral, and Ultraspectral Imagery VI*, 4049:199--207.
- Miller, S. W. and E. Vermote, 2002, *NPOESS Visible/Infrared Imager/Radiometer Suite: Algorithm Theoretical Basis Document*, Version 5, Lanham: Raytheon, 83 p.
- Milman, A. S., 1999, *Mathematical Principles of Remote Sensing: Making Inferences from Noisy Data*, Ann Arbor: Ann Arbor Press, 37 p.
- Nassau, K., 1983, *The Physics and Chemistry of Color: The Fifteen Causes of Color*, NY.: John Wiley. Nassau, K., 1984, "The Physics of Color," in *Science Year 1984*, Chicago: World Book, 126-139.
- Research Systems, 2003, *FLAASH—Fast Line-of-sight Atmospheric Analysis of Spectral Hypercubes*, Boulder: Research Systems, <http://www.rsinc.com/envi/flaash.asp>.
- Richards, J. A. and X. Jia, 1999, *Remote Sensing Digital Image Analysis*, N.Y.: Springer-Verlag, 363 p.
- Rinker, J. N., 1999, *Introduction to Spectral Remote Sensing*, Alexandria: U.S. Army Topographic Engineering Center, <http://www.tec.army.mil/terrain/desert/tutorial>.
- Rott, H., 2000, "Physical Principles and Technical Aspects of Remote Sensing," in Schultz, G. A. and E. T. Engman (Eds.), *Remote Sensing in Hydrology and Water Management*, Berlin: Springer, 16-39.
- Song, C., Woodcock, C. E., Soto, K. C., Lenney, M. P. and S. A. Macomber, 2001, "Classification and Change Detection Using Landsat TM Data: When and How to Correct Atmospheric Effects?" *Remote Sensing of Environment*, 75:230-244.
- Trefil, J. and R. M. Hazen, 1995, *The Sciences: An Integrated Approach*, NY.: John Wiley, 634 p.
- Tuominen, S. and A. Pekkarinen, 2004, "Local Radiometric Correction of Digital Aerial Photographs for Multi Source Forest Inventory," *Remote Sensing of Environment*, 89:72-82.
- Vermote, E. E., El Saleous, N. Z. and C. O. Justice, 2002, "Atmospheric Correction of MODIS Data in the Visible to Middle Infrared: First Results," *Remote Sensing of Environment*, 83:97-111.

